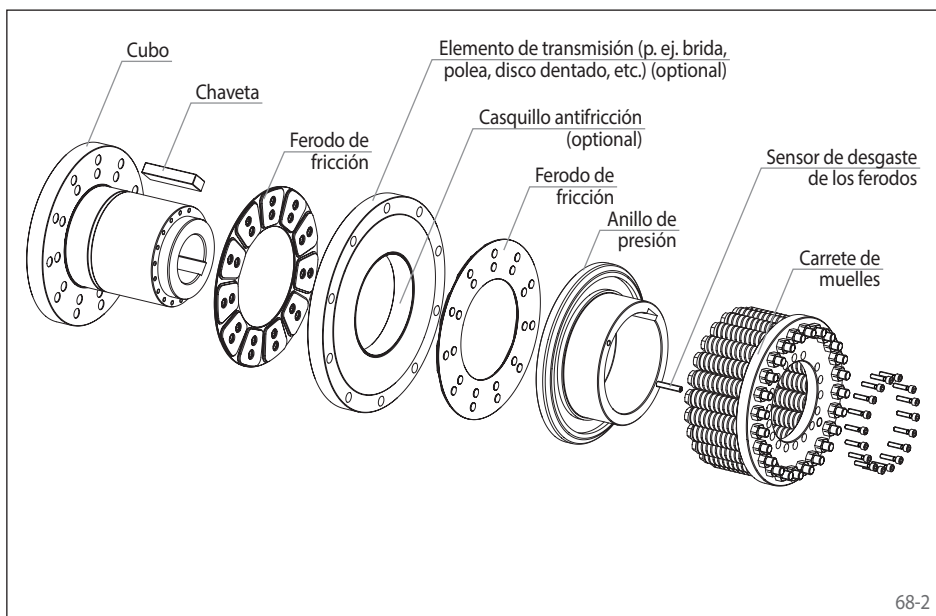


68-1

### Características

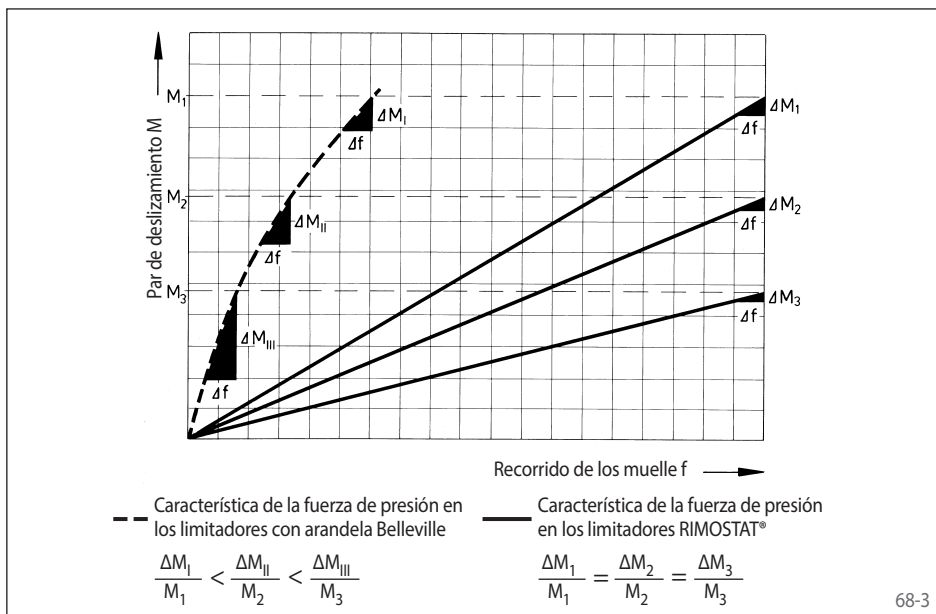
- Mayor constancia del par de deslizamiento que en los limitadores de par con arandela Belleville, durante todo el período de la operación
- El ajuste del par de deslizamiento se realiza mediante el número de muelles activos – no variando la precarga de los muelles
- Excelente comportamiento frente al desgaste durante las operaciones de alto consumo energético
- Resistente a altas temperaturas



68-2

### El principio RIMOSTAT®

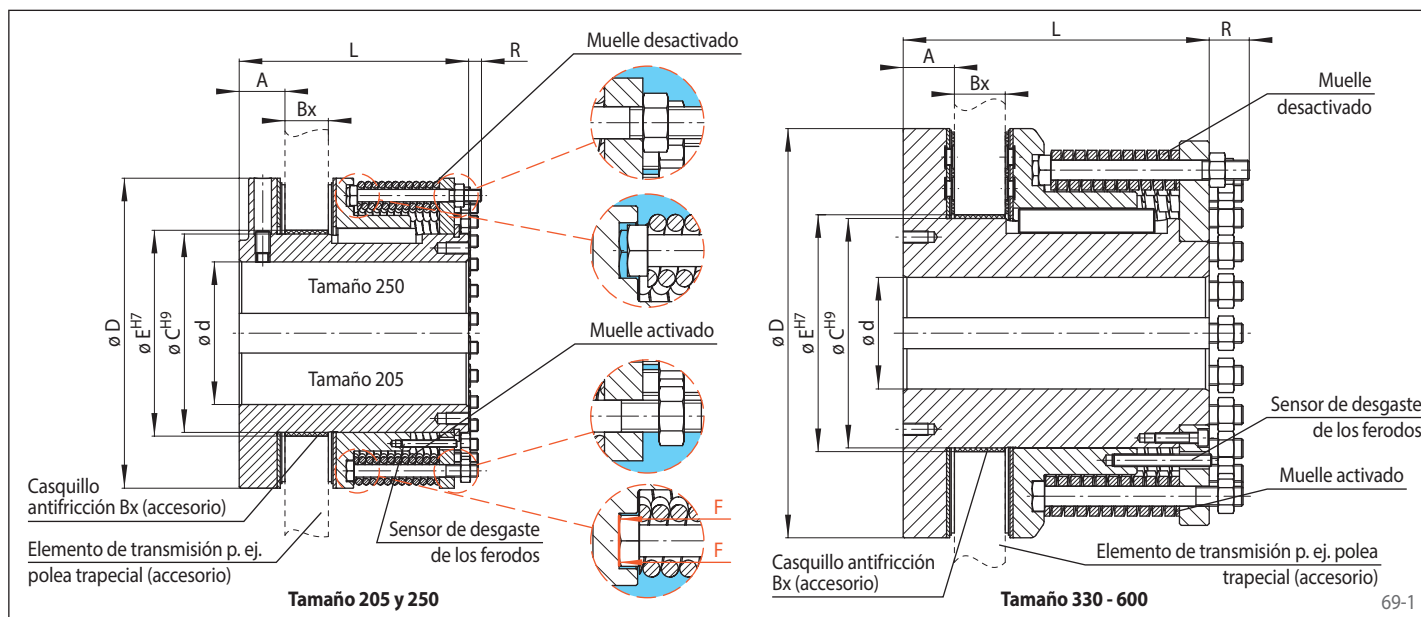
La presión de contacto en las superficies de fricción se produce por largos muelles helicoidales. Gracias a la característica lineal de la fuerza de presión de los limitadores de par RIMOSTAT®, prácticamente no se sufre ninguna reducción del par ajustado, incluso cuando los ferodos se someten a desgaste. Como muestra el gráfico 68-3, en comparación con los limitadores de par con arandela Belleville, la pérdida del par ajustado  $\Delta M$  con un desgaste de los ferodos  $\Delta f$ , es prácticamente inexistente.



68-3

### Funcionamiento

- Al alcanzar el par ajustado, el elemento instalado entre los ferodos (p.e. un piñón) comienza a deslizarse.
- Durante el deslizamiento, la parte motriz gira con relación a la accionada, mientras se sigue transmitiendo el par ajustado.
- Inherente al proceso de deslizamiento se produce un alto consumo energético.
- No es necesario conectarlo nuevamente.
- No es necesario el reajuste del par de deslizamiento.



### Datos técnicos y dimensiones

Tipos	Tamaño Nm	Velocidad máx. <sup>1)</sup> min <sup>-1</sup>	Agujero <sup>2)</sup> d <sup>H7</sup>		A mm	Bx mm	C <sup>3)</sup> mm	D mm	E <sup>4)</sup> mm	L mm	R <sup>5)</sup> mm	Peso <sup>6)</sup> kg
			min. mm	max. mm								
RSHD 205	600 - 3 000	2 700	50	90	29,9	28	125	205	131	160	10	26,6
RSHD 250	1 200 - 6 000	2 100	55	115	36,9	35	160	250	166	185	10	46,5
RSHD 330	3 000 - 14 000	1 800	90	125	41,3	41	185	330	191	247	30	103,0
RSHD 400	5 000 - 24 000	1 500	125	150	51,3	63	250	400	260	286	22	173,6
RSHD 500	8 000 - 50 000	1 200	150	200	56,3	63	350	500	360	275	48	292,0
RSHD 600	10 000 - 68 000	1 000	150	300	66,3	63	450	600	460	298	35	510,5

<sup>1)</sup> La velocidad máxima se basa en la resistencia de diseño del limitador de par a fricción. <sup>2)</sup> Otras dimensiones de agujero así como el interior nervado, bajo consulta. <sup>3)</sup> Si no se suministra el casquillo de antifricción RINGSPANN, el eje C debe tener una tolerancia H9 y un acabado superficial Rz ≤ 10. <sup>4)</sup> En caso de instalar el casquillo antifricción RINGSPANN el eje del elemento de transmisión se debe mecanizar con tolerancia H7. <sup>5)</sup> Dimensiones de muelles desactivados. <sup>6)</sup> Peso con el eje más pequeño.

Las superficies de fricción del elemento de transmisión deben tener un descentrado axial total ≤ 0.05 con el eje y un acabado superficial Rz12. Chavetero según DIN 6885, hoja 1 · Tolerancia de la chaveta P9. Otros diseños posibles bajo pedido.

### Suministro

Los limitadores de par se suministran con todos los muelles desactivados, sin tarar el par de deslizamiento y sin casquillo antifricción. Se integra un sensor de desgaste de los ferodos visual. Tan solo se puede tarar el par de deslizamiento cuando se suministra con un elemento de transmisión (p. ej. polea).

### Tipos (accesorios)

- Diámetros especiales de ejes bajo pedido
- Posibilidad de conectar 2 ejes macizos
- Se puede combinar con acoplamiento elásticos

### Accesorios

El limitador de par RSHD está disponible con los siguientes accesorios

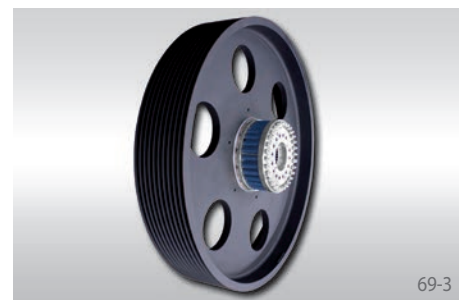
- Casquillo antifricción Bx
- Polea trapecial
- Poleas con canales en V
- Elementos de transmisión embreados

### Por favor especificar en el pedido

- Tipo de Limitador de par
- Información del eje
- Necesita casquillo antifricción: Si / No
- Información del elemento de transmisión si se necesita
- Definir el par de deslizamiento (el tarado solo es posible con el elemento de transmisión)



RIMOSTAT® - Limitador de par RSHD con acoplamiento de REB ... DCO



RIMOSTAT® - Limitadores de par RSHD para aplicaciones pesadas con polea trapecial